



# Großwetterlage

**Mai 2014**

erstellt durch die Vorhersage- und Beratungszentrale, Offenbach  
Ausgabe: 02.02.2016

## Zonale Zirkulation

	Nr.	GW zählt als	Jan.	Feb.	W	März	April	Mai	F	Juni	Juli	Aug.	S	Sept.	Okt.	Nov.	H	Dez.	Jahr				
Wa	1	a	-	-	16	3	-	-	10	-	-	-	0	-	-	-	0	-	0				
Wz	2	z	4	-		-	-	-		-	-	-		-	-	-		-		-	-	-	-
Ws	3	z	3	6		-	2	1		-	-	-		-	-	-		-		-	-	-	-
Ww	4	z	-	3		4	-	-		-	-	-		-	-	-		-		-	-	-	-
<b>W (GT)</b>			<b>7</b>	<b>9</b>		<b>7</b>	<b>2</b>	<b>1</b>		<b>0</b>	<b>0</b>	<b>0</b>		<b>0</b>	<b>0</b>	<b>0</b>		<b>0</b>	<b>26</b>				
zonale Zirkulation			7	9	16	7	2	1	10	0	0	0	0	0	0	0	0	0	0	26			

## Gemischte Zirkulation

	Nr.	GW zählt als	Jan.	Feb.	W	März	April	Mai	F	Juni	Juli	Aug.	S	Sept.	Okt.	Nov.	H	Dez.	Jahr	
SWa	5	H+a	-	3	22	-	-	-	11	-	-	-	0	-	-	-	0	-	0	
SWz	6	z	8	11		3	3	5		-	-	-		-	-	-		-		-
<b>SW (GT)</b>			<b>8</b>	<b>14</b>		<b>3</b>	<b>3</b>	<b>5</b>		<b>0</b>	<b>0</b>	<b>0</b>		<b>0</b>	<b>0</b>	<b>0</b>		<b>0</b>	<b>33</b>	
NWa	7	a	-	-	0	3	5	-	8	-	-	-	0	-	-	-	0	-	0	
NWz	8	z	-	-		-	-	-		-	-	-		-	-	-		-		-
<b>NW (GT)</b>			<b>0</b>	<b>0</b>		<b>3</b>	<b>5</b>	<b>0</b>		<b>0</b>	<b>0</b>	<b>0</b>		<b>0</b>	<b>0</b>	<b>0</b>		<b>0</b>	<b>8</b>	
HM	9	H+a	-	-	0	3	4	-	14	-	-	-	0	-	-	-	0	-	0	
BM	10	H+a	-	-		7	-	-		-	-	-		-	-	-		-		-
<b>HM (GT)</b>			<b>0</b>	<b>0</b>		<b>10</b>	<b>4</b>	<b>0</b>		<b>0</b>	<b>0</b>	<b>0</b>		<b>0</b>	<b>0</b>	<b>0</b>		<b>0</b>	<b>14</b>	
<b>TM (GT)</b>	11	T+z	-	-	0	-	-	4	4	-	-	-	0	-	-	-	0	-	4	
gemischte Zirkulation			8	14	22	16	12	9	37	0	0	0	0	0	0	0	0	0	0	59

## Meridiane Zirkulation

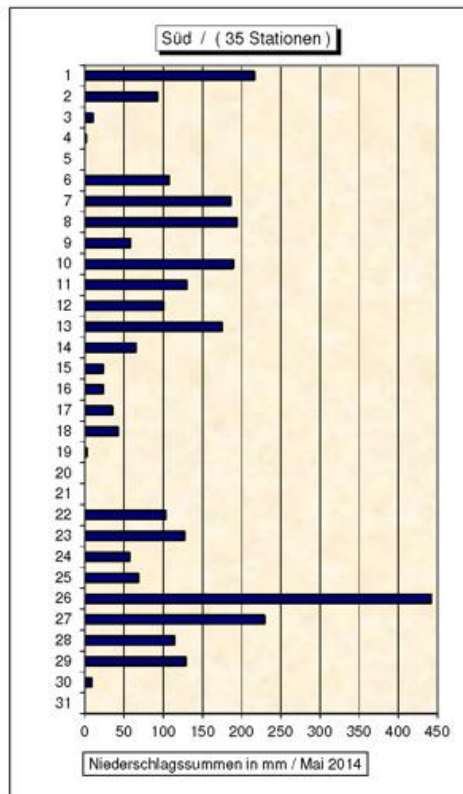
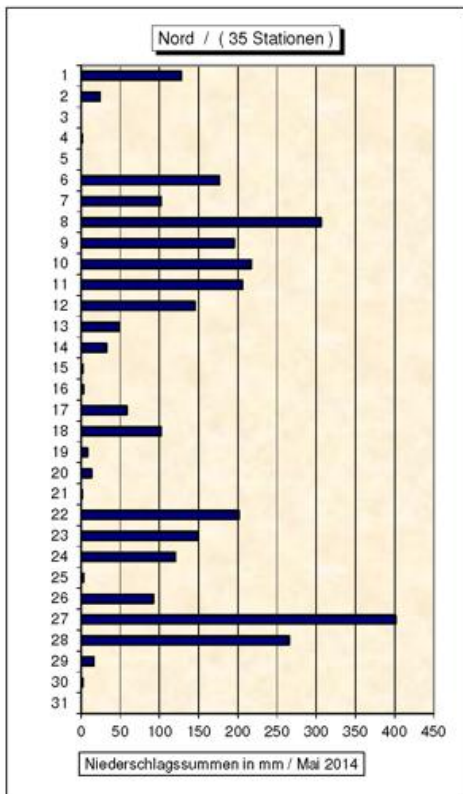
	Nr.	GW zählt als	Jan.	Feb.	W	März	April	Mai	F	Juni	Juli	Aug.	S	Sept.	Okt.	Nov.	H	Dez.	Jahr				
Na	12	a	-	-		-	-	-		-	-	-		-	-	-		-					
Nz	13	z	-	-		-	-	-		-	-	-		-	-	-		-		-	-	-	-
HNa	14	a	-	-		-	-	4		-	-	-		-	-	-		-		-	-	-	-
HNz	15	T+z	-	-		-	-	-		-	-	-		-	-	-		-		-	-	-	-
HB	16	a	-	-		-	-	-		-	-	-		-	-	-		-		-	-	-	-
TrM	17	T+z	-	-		3	-	4		-	-	-		-	-	-		-		-	-	-	-
<b>N (GT)</b>			<b>0</b>	<b>0</b>		<b>0</b>	<b>3</b>	<b>0</b>		<b>8</b>	<b>11</b>	<b>0</b>		<b>0</b>	<b>0</b>	<b>0</b>		<b>0</b>		<b>0</b>	<b>0</b>	<b>0</b>	<b>0</b>
NEa	18	H+a	-	-		-	-	-		-	-	-		-	-	-		-					
NEz	19	T+z	-	-		3	5	6		-	-	-		-	-	-		-		-	-	-	-
HFa	20	H+a	-	-		-	-	-		-	-	-		-	-	-		-		-	-	-	-
HFz	21	T+z	7	-		-	4	-		-	-	-		-	-	-		-		-	-	-	-
HNFa	22	H+a	-	-		-	3	-		-	-	-		-	-	-		-		-	-	-	-
HNFz	23	T+z	-	-		-	-	-		-	-	-		-	-	-		-		-	-	-	-
SEa	24	H+a	-	-		-	-	-		-	-	-		-	-	-		-		-	-	-	-
SEz	25	T+z	-	-		-	-	-		-	-	-		-	-	-		-		-	-	-	-
<b>E (GT)</b>			<b>7</b>	<b>0</b>	<b>7</b>	<b>3</b>	<b>12</b>	<b>6</b>	<b>21</b>	<b>0</b>	<b>0</b>	<b>0</b>	<b>0</b>	<b>0</b>	<b>0</b>	<b>0</b>	<b>0</b>	<b>0</b>	<b>28</b>				
Sa	26	H+a	-	-		2	1	-		-	-	-		-	-	-		-					
Sz	27	z	2	5		-	-	7		-	-	-		-	-	-		-		-	-	-	-
TB	28	z	7	-		-	3	-		-	-	-		-	-	-		-		-	-	-	-
TrW	29	z	-	-		-	-	-		-	-	-		-	-	-		-		-	-	-	-
<b>S (GT)</b>			<b>9</b>	<b>5</b>	<b>14</b>	<b>2</b>	<b>4</b>	<b>7</b>	<b>13</b>	<b>0</b>	<b>0</b>	<b>0</b>	<b>0</b>	<b>0</b>	<b>0</b>	<b>0</b>	<b>0</b>	<b>0</b>	<b>27</b>				
meridiane Zirkulation			16	5	21	8	16	21	45	0	0	0	0	0	0	0	0	0	66				

## Summe

	Nr.	GW zählt als	Jan.	Feb.	W	März	April	Mai	F	Juni	Juli	Aug.	S	Sept.	Okt.	Nov.	H	Dez.	Jahr
Übergangs - lage (Tage)			-	-	0	-	-	-	0	-	-	-	0	-	-	-	0	-	0
Σ a			0	3	3	18	13	4	35	0	0	0	0	0	0	0	0	0	38
Σ z			31	25	56	13	17	27	57	0	0	0	0	0	0	0	0	0	113
Σ H			0	3	3	12	8	0	20	0	0	0	0	0	0	0	0	0	23
Σ T			7	0	7	6	9	14	29	0	0	0	0	0	0	0	0	0	36

GWL 2014	GWL nach Hess & Brezowsky	Kurzbeschreibung
Donnerstag, den 01. Mai	<b>WS</b>	Über dem Nordostatlantik steigen Geopotential bzw. Luftdruck allmählich an.
Freitag, den 02. Mai	<b>HNa</b>	Südöstlich von Island bildet sich eine kräftige Hochdruckzelle, über dem Kontinent kommt polare Meeresluft südwärts voran. Vom Europäischen Nordmeer über die Britischen Inseln bis zum östlichen Zentralatlantik herrscht kaum gestörter Hochdruckeinfluss. Schließlich zieht der Hochdruckrücken rasch über Mitteleuropa hinweg.
Samstag, den 03. Mai	<b>HNa</b>	
Sonntag, den 04. Mai	<b>HNa</b>	
Montag, den 05. Mai	<b>HNa</b>	
Dienstag, den 06. Mai	<b>SWz</b>	Vom Nordatlantik her folgt der nächste Höhentrog, im Bodendruckfeld weitet sich das Tiefdruckgebiet südlich von Island unter allmählicher Auffüllung in Richtung Britische Inseln aus. Mitteleuropa liegt in einer südwestlichen Strömung und wird zeitweilig von Tiefausläufern überquert. An den beiden letzten Tagen des hier betrachteten Zeitraumes fällt der Bodenluftdruck über Südosteuropa und Strömung wird in West-Ost-Richtung quasi zonal.
Mittwoch, den 07. Mai	<b>SWz</b>	
Donnerstag, den 08. Mai	<b>SWz</b>	
Freitag, den 09. Mai	<b>SWz</b>	
Samstag, den 10. Mai	<b>SWz</b>	Während der ost-/südosteuropäische Trog allmählich verschwindet, kommt über Westeuropa erneut hoch reichende Polarluft südwärts voran. So bildet sich ein weiterer Trog, der seine Achse rasch nach Mitteleuropa schwenkt, im weiteren Verlauf an seiner Rückseite durch Kaltluft regeneriert wird, bevor über dem westlichen Balkan ein Cut-Off-Prozess einsetzt.
Sonntag, den 11. Mai	<b>TrM</b>	
Montag, den 12. Mai	<b>TrM</b>	
Dienstag, den 13. Mai	<b>TrM</b>	
Mittwoch, den 14. Mai	<b>TrM</b>	Zwischen den Azoren und Skandinavien etabliert sich eine Hochdruckzone, auch der Luftdruck über Mitteleuropa steigt kräftig. Das Balkantief beeinflusst Mitteleuropa z. T. und am Ende zonalisiert sich die Hochdruckbrücke zwischen dem Nordatlantik und Nordrussland.
Donnerstag, den 15. Mai	<b>NEz</b>	
Freitag, den 16. Mai	<b>NEz</b>	
Samstag, den 17. Mai	<b>NEz</b>	
Sonntag, den 18. Mai	<b>Sz</b>	Von Grönland her kommt hoch reichende Kaltluft südwärts voran, der entstandene Trog sorgt an seiner Vorderseite für Zyklogenese im Bodendruckfeld, vergrößert seine Amplitude rasch und verharrt über Westeuropa. Im Geopotentialfeld über dem Kontinent überwiegt die Süd-Nord-Komponente. Über Mitteleuropa bilden sich Störungen, im Verlaufe werden in Bodennähe warme Festlandluft und kühle Meeresluft durch weitgehend meridional verlaufende, allmählich ostwärts voran kommende Frontensysteme voneinander getrennt. Der südliche Teil des Troges schnürt sich zunächst zeitweise, später deutlich von der Frontalzone ab.
Montag, den 19. Mai	<b>Sz</b>	
Dienstag, den 20. Mai	<b>Sz</b>	
Mittwoch, den 21. Mai	<b>Sz</b>	
Donnerstag, den 22. Mai	<b>Sz</b>	
Freitag, den 23. Mai	<b>Sz</b>	
Samstag, den 24. Mai	<b>Sz</b>	
Sonntag, den 25. Mai	<b>TM</b>	Mit dem Anstieg des Geopotentials verstärkt sich ein Hochdruckgebiet über dem Europäischen Nordmeer und der Grönlandsee. Der abgeschnürte Höhentiefkomplex über Westeuropa verursacht dort sowie über Mitteleuropa zyklogenetische Prozesse. Die Ausweitung des Nordmeerhochs auf Skandinavien verstärkt die Luftdruckgegensätze über Mitteleuropa.
Montag, den 26. Mai	<b>TM</b>	
Dienstag, den 27. Mai	<b>TM</b>	
Mittwoch, den 28. Mai	<b>TM</b>	Eine im Seegebiet nördlich der Azoren sowie über Fennoskandien zeitweise leicht gestörte Hochdruckzone erstreckt sich schließlich in weitem Bogen vom mittleren Nordatlantik über West- und Mitteleuropa hinweg bis zur Grönland- sowie Barentssee.
Donnerstag, den 29. Mai	<b>NEz</b>	
Freitag, den 30. Mai	<b>NEz</b>	
Samstag, den 31. Mai	<b>NEz</b>	

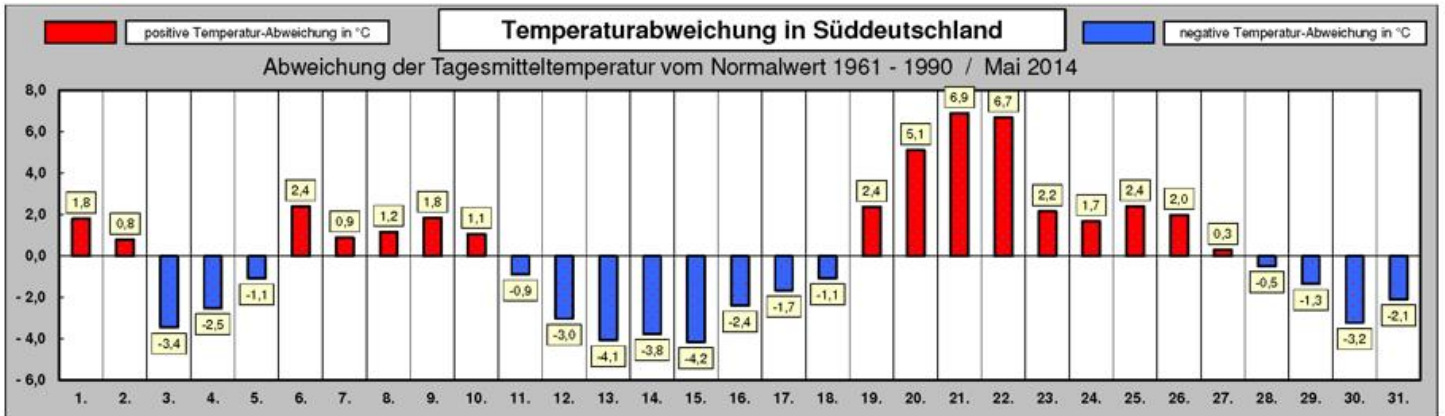
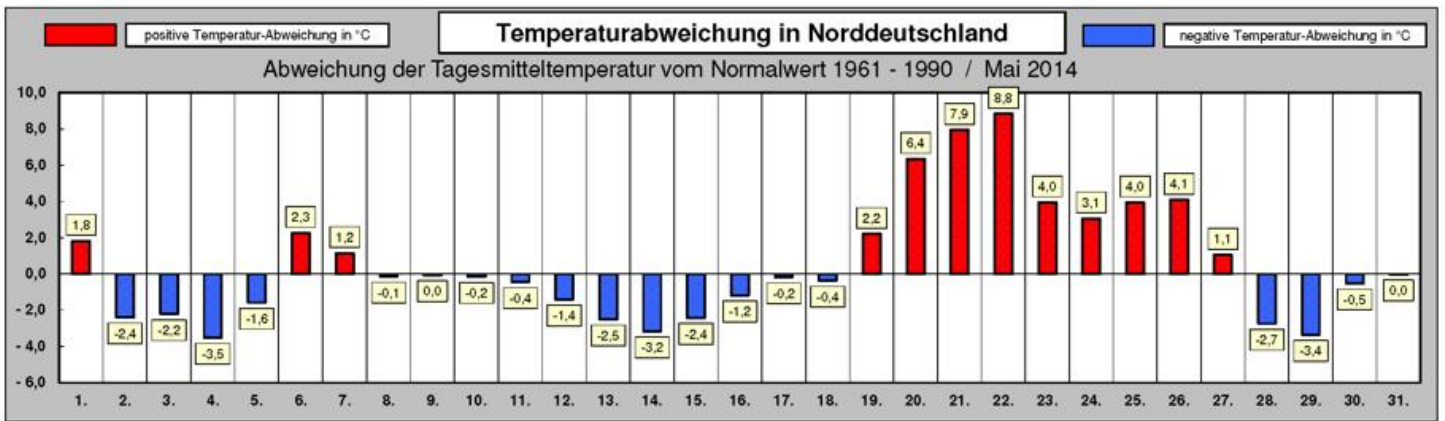
Legende zur Großwetterlagen-Tabelle			
Nummer	Abkürzung	Großwetterlage	Farbe
1	<b>Wa</b>	Westlage, Mitteleuropa überwiegend antizyklonal	Hellgrün
2	<b>Wz</b>	Westlage, Mitteleuropa überwiegend zyklonal	Grelles Grün
3	<b>WS</b>	Südliche Westlage	Meeresgrün
4	<b>WW</b>	Winkelförmige Westlage	Grün
5	<b>SWa</b>	Südwestlage, Mitteleuropa überwiegend antizyklonal	Hellorange
6	<b>SWz</b>	Südwestlage, Mitteleuropa überwiegend zyklonal	Orange
7	<b>NWa</b>	Nordwestlage, Mitteleuropa überwiegend antizyklonal	Türkis
8	<b>NWz</b>	Nordwestlage, Mitteleuropa überwiegend zyklonal	Blaugrün
9	<b>HM</b>	Hoch Mitteleuropa	Weiß
10	<b>BM</b>	Hochdruckbrücke Mitteleuropa	Hellgrau 25%
11	<b>TM</b>	Tief Mitteleuropa	Grau 50%
12	<b>Na</b>	Nordlage, Mitteleuropa überwiegend antizyklonal	Blassblau
13	<b>Nz</b>	Nordlage, Mitteleuropa überwiegend zyklonal	Blau
14	<b>HNa</b>	Hoch Nordmeer-Inland, Mitteleuropa überwiegend antizyklonal	Himmelblau
15	<b>HNz</b>	Hoch Nordmeer-Inland, Mitteleuropa überwiegend zyklonal	Blaugrau
16	<b>HB</b>	Hoch Britische Inseln	Helltürkis
17	<b>TrM</b>	Trog Mitteleuropa	Dunkelgrau 80%
18	<b>NEa</b>	Nordostlage, Mitteleuropa überwiegend antizyklonal	Lavendel
19	<b>NEz</b>	Nordostlage, Mitteleuropa überwiegend zyklonal	Pflaume
20	<b>HFa</b>	Hoch Fennoskandien, Mitteleuropa überwiegend antizyklonal	Hellrosa
21	<b>HFz</b>	Hoch Fennoskandien, Mitteleuropa überwiegend zyklonal	Rosa
22	<b>HNFa</b>	Hoch Nordmeer-Fennoskandien, Mitteleuropa überwiegend antizyklonal	Hellgelb
23	<b>HNFz</b>	Hoch Nordmeer-Fennoskandien, Mitteleuropa überwiegend zyklonal	Dunkelgelb
24	<b>SEa</b>	Südostlage, Mitteleuropa überwiegend antizyklonal	Gelb
25	<b>SEz</b>	Südostlage, Mitteleuropa überwiegend zyklonal	Gold
26	<b>Sa</b>	Südlage, Mitteleuropa überwiegend antizyklonal	Gelbbraun
27	<b>Sz</b>	Südlage, Mitteleuropa überwiegend zyklonal	Rot
28	<b>TB</b>	Tief Britische Inseln	Braun
29	<b>TrW</b>	Trog Westeuropa	Dunkelrot
30	<b>Ü</b>	Übergangslage / Unbestimmt	Grau 40%



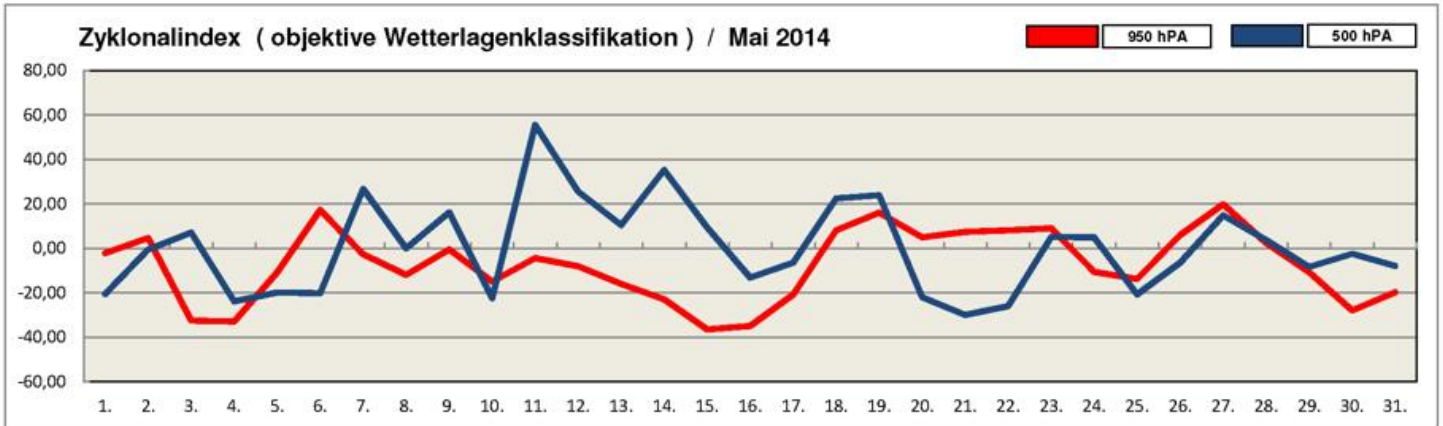
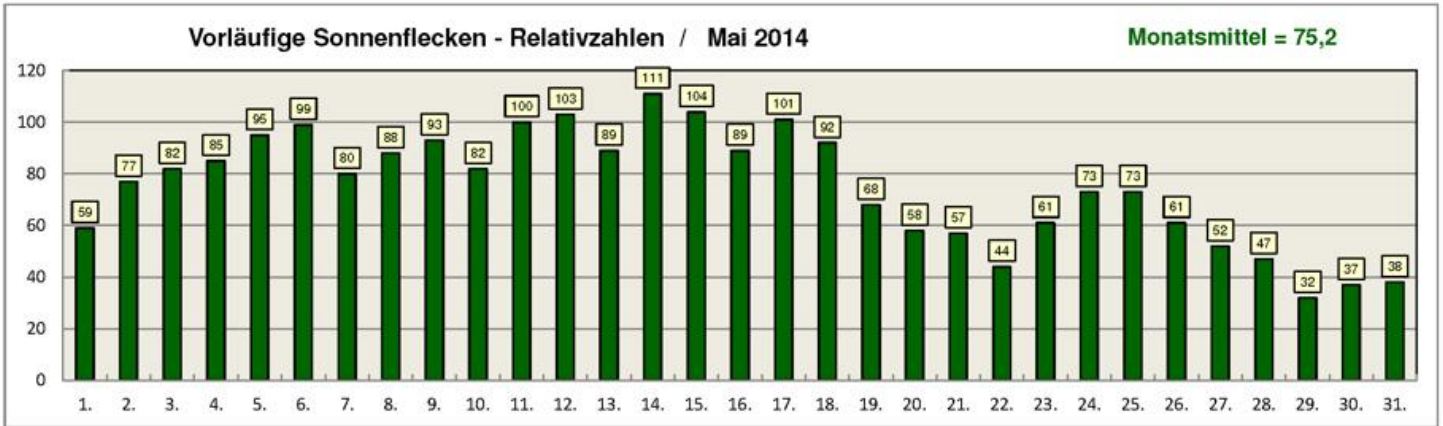
Tag	Nord	Süd
1.	22	31
2.	16	28
3.	0	5
4.	2	1
5.	1	0
6.	33	33
7.	34	35
8.	35	35
9.	34	31
10.	35	35
11.	35	34
12.	34	35
13.	27	34
14.	27	29
15.	5	14
16.	2	7
17.	10	14
18.	24	9
19.	7	3
20.	4	0
21.	1	2
22.	22	21
23.	28	27
24.	16	15
25.	1	16
26.	12	32
27.	31	30
28.	21	18
29.	11	31
30.	2	6
31.	0	2

Anzahl der Stationen mit Niederschlag

# Temperaturabweichung in Deutschland



# Witterungsverlauf : Sonnenflecken und Zyklonalindex



Stationen	Temperatur	Abweichung	Niederschlag	Abweichung	Sonnenschein	Abweichung	Luftdruck	Abweichung
10035 Schleswig	12,3 °C	+ 1,3 °C	125,5 mm	204,4 %	189,1 Stunden	83,7 %	1015,1 hPA	- 0,2 hPA
10113 Norderney	12,6 °C	+ 1,4 °C	82,8 mm	170,0 %	236,1 Stunden	104,3 %	1015,3 hPA	+ 0,4 hPA
10147 Hamburg	12,6 °C	+ 0,4 °C	96,8 mm	168,9 %	190,3 Stunden	87,8 %	1015,2 hPA	+ 0,0 hPA
10170 Rostock	12,6 °C	+ 1,3 °C	40,6 mm	87,3 %	224,9 Stunden	91,6 %	1015,0 hPA	- 0,3 hPA
10338 Hannover	12,8 °C	+ 0,2 °C	102,1 mm	163,6 %	174,5 Stunden	84,6 %	1015,6 hPA	+ 0,3 hPA
10379 Potsdam	13,4 °C	+ 0,2 °C	87,3 mm	143,8 %	194,7 Stunden	85,8 %	1015,0 hPA	- 0,6 hPA
10410 Essen	12,9 °C	+ 0,0 °C	139,1 mm	189,5 %	152,1 Stunden	79,0 %	1015,7 hPA	+ 0,7 hPA
10438 Kassel	12,0 °C	- 0,6 °C	94,2 mm	133,2 %	177,5 Stunden	91,4 %	1015,8 hPA	+ 0,9 hPA
10453 Brocken	5,8 °C	+ 0,1 °C	171,0 mm	145,5 %	142,1 Stunden	82,4 %	1015,6 hPA	+ 0,4 hPA
10469 Leipzig	13,3 °C	+ 0,0 °C	117,4 mm	222,3 %	192,3 Stunden	96,9 %	1015,3 hPA	+ 0,1 hPA
10496 Cottbus	13,6 °C	+ 0,1 °C	98,9 mm	171,4 %	181,2 Stunden	80,7 %	1015,0 hPA	- 0,0 hPA
10567 Gera	12,1 °C	+ 0,3 °C	69,2 mm	127,0 %	182,8 Stunden	91,2 %	1015,5 hPA	+ 0,1 hPA
10609 Trier	13,1 °C	+ 0,5 °C	86,0 mm	126,7 %	190,4 Stunden	93,6 %	1016,2 hPA	+ 1,6 hPA
10637 Frankfurt (Main)	14,3 °C	+ 0,6 °C	64,9 mm	105,9 %	208,3 Stunden	100,9 %	1016,0 hPA	+ 1,4 hPA
10739 Stuttgart	13,8 °C	+ 0,5 °C	66,5 mm	79,5 %	198,5 Stunden	100,4 %	1016,2 hPA	+ 1,3 hPA
10763 Nürnberg	13,1 °C	- 0,1 °C	89,9 mm	139,8 %	178,4 Stunden	83,4 %	1015,8 hPA	+ 1,1 hPA
10803 Freiburg	14,0 °C	+ 0,8 °C	73,4 mm	80,4 %	192,0 Stunden	108,4 %	1016,6 hPA	+ 2,3 hPA
10870 München	12,5 °C	+ 0,3 °C	107,0 mm	122,0 %	170,7 Stunden	84,0 %	1016,0 hPA	+ 1,2 hPA
10895 Passau	12,6 °C	+ 0,6 °C	120,9 mm	146,2 %	169,1 Stunden	82,1 %	1015,4 hPA	+ 1,0 hPA
10961 Zugspitze	-3,3 °C	- 0,2 °C	271,1 mm	157,7 %	149,3 Stunden	90,5 %	1016,3 hPA	+ 1,5 hPA

\* Bei allen Abweichungswerten wird der aktuelle Monatsmittelwert dem 30-jährigen Mittelwert (climat-Wert) aus dem Zeitraum 1961 bis 1990 gegenüber gestellt !

Stationen	Temperatur	Abweichung	Niederschlag	Abweichung	Sonnenschein	Abweichung	Luftdruck	Abweichung	
01026	Tromsö	4,5 °C	- 0,4 °C	44,0 mm	91,7 %	276,0 Stunden	126,6 %	1017,1 hPA	+ 1,8 hPA
02935	Jyväskylä	9,5 °C	+ 0,8 °C	114,0 mm	285,0 %	213,0 Stunden	85,2 %	1014,9 hPA	- 0,2 hPA
03005	Lerwick	8,6 °C	+ 1,0 °C	61,0 mm	98,4 %	119,0 Stunden	81,0 %	1014,4 hPA	+ 0,6 hPA
03091	Aberdeen	10,8 °C	+ 1,8 °C	56,0 mm	94,9 %	143,0 Stunden	81,3 %	1014,0 hPA	+ 0,1 hPA
03772	London	13,9 °C	+ 1,4 °C	85,0 mm	166,7 %	179,0 Stunden	92,3 %	1015,1 hPA	- 0,1 hPA
04030	Reykjavik	8,2 °C	+ 1,9 °C	48,0 mm	109,6 %	189,0 Stunden	98,4 %	1012,8 hPA	+ 0,4 hPA
06260	De Bilt	13,2 °C	+ 0,9 °C	102,0 mm	166,7 %	192,0 Stunden	97,5 %	1015,4 hPA	+ 0,6 hPA
06447	Brüssel	13,5 °C	+ 0,6 °C	54,0 mm	76,1 %	191,0 Stunden	100,8 %	1015,6 hPA	+ 0,8 hPA
06590	Luxemburg	12,7 °C	+ 0,9 °C	70,0 mm	86,4 %	224,0 Stunden	108,5 %	1016,2 hPA	+ 1,4 hPA
06700	Genf	13,5 °C	+ 0,5 °C	73,0 mm	94,8 %	195,0 Stunden	107,7 %	1016,5 hPA	+ 1,6 hPA
06770	Lugano	16,1 °C	+ 1,6 °C	136,0 mm	70,1 %	217,0 Stunden	119,9 %	1014,3 hPA	- 0,2 hPA
07149	Paris	13,8 °C	+ 0,3 °C	88,0 mm	151,7 %	205,0 Stunden	102,0 %	1016,5 hPA	+ 1,7 hPA
07222	Nantes	13,7 °C	+ 0,1 °C	53,0 mm	82,8 %	230,0 Stunden	109,0 %	1017,2 hPA	+ 2,2 hPA
07690	Nizza	17,5 °C	+ 1,1 °C	19,0 mm	38,8 %	290,0 Stunden	107,4 %	1014,3 hPA	- 0,1 hPA
08221	Madrid	18,1 °C	+ 2,6 °C	8,0 mm	20,5 %	302,0 Stunden	111,9 %	1014,1 hPA	- 1,5 hPA
08509	Azoren ( Lajes )	17,4 °C	+ 1,3 °C	10,0 mm	23,3 %	182,0 Stunden	92,4 %	1024,2 hPA	+ 0,9 hPA
08535	Lissabon	18,5 °C	+ 1,1 °C	31,0 mm	79,5 %	340,0 Stunden	116,8 %	1016,2 hPA	- 1,2 hPA
11035	Wien	14,9 °C	+ 0,3 °C	192,0 mm	314,8 %	231,0 Stunden	100,4 %	1014,1 hPA	- 0,4 hPA
11150	Salzburg	13,0 °C	- 0,2 °C	277,0 mm	221,6 %	163,0 Stunden	84,5 %	1015,6 hPA	+ 0,3 hPA
11518	Prag	12,1 °C	- 0,6 °C	121,0 mm	157,1 %	196,0 Stunden	85,2 %	1015,1 hPA	+ 0,2 hPA
12205	Stettin	13,3 °C	+ 0,5 °C	85,0 mm	166,7 %	212,0 Stunden	96,8 %	1014,9 hPA	- 0,2 hPA
12375	Warschau	14,5 °C	+ 1,1 °C	90,0 mm	152,5 %	288,0 Stunden	98,0 %	1014,6 hPA	- 0,9 hPA
12843	Budapest	16,1 °C	+ 0,1 °C	113,0 mm	205,5 %	245,0 Stunden	106,1 %	1013,2 hPA	- 0,7 hPA
13274	Belgrad	16,9 °C	- 0,3 °C	280,0 mm	394,4 %	230,0 Stunden	101,8 %	1012,7 hPA	- 1,7 hPA
15420	Bukarest	16,0 °C	- 0,7 °C	105,0 mm	150,0 %	211,0 Stunden	85,7 %	1012,5 hPA	- 1,6 hPA
15614	Sofia	14,4 °C	+ 0,1 °C	148,0 mm	202,7 %	207,0 Stunden	102,5 %	1012,4 hPA	- 2,5 hPA
16597	Malta ( Luqa )	19,6 °C	+ 0,5 °C	6,0 mm	85,7 %	325,0 Stunden	108,3 %	1015,4 hPA	+ 0,1 hPA
16714	Athen	20,6 °C	+ 0,5 °C	5,0 mm	27,8 %	241,0 Stunden	83,1 %	1012,9 hPA	- 0,5 hPA
17116	Bursa	18,3 °C	+ 1,0 °C	103,0 mm	223,9 %	211,0 Stunden	82,7 %	1013,1 hPA	- 1,1 hPA
22550	Archangelsk	8,0 °C	+ 1,5 °C	49,0 mm	122,5 %	229,0 Stunden	87,1 %	1016,2 hPA	+ 0,3 hPA
27595	Kasan	17,1 °C	+ 3,8 °C	19,0 mm	51,4 %	366,0 Stunden	129,8 %	1018,9 hPA	+ 3,1 hPA
34300	Charkow	18,9 °C	+ 3,3 °C	54,0 mm	114,9 %	299,0 Stunden	125,6 %	1014,1 hPA	- 0,8 hPA